

SÜPERAKIŞKANLAŞTIRICI KATKILARIN PORTLAND ÇİMENTO HARÇLARININ RÖTRESİNE ETKİSİ

Mehmet UYAN

İTÜ İnşaat Fakültesi

Ayazağa, İstanbul

Mustafa KARAGÜLER

İTÜ Mimarlık Fakültesi

Taşkışla, İstanbul

Sedat YÜCESOY

İnş. Y. Mühendisi

Mersin

ÖZET

Literatürde süperakiskanlaştırıcıların betonun kuruma rötresine etkisi üzerine az ve birbirile uzlaşmayan bilgiler vardır. Bu nedenle, bu problemi aydınlatmak üzere bir dizi deney gerçekleştirilmiştir. Deneylerde; 400, 450 ve 500 kg/m³luk üç ayrı dozaj kullanılmıştır. İşlenebilmeyi sabit tutabilmek için her karışımında su miktarları ayarlanmıştır. Linyosülfonat, melamin ve naftalin esası olmak üzere üç ayrı akışkanlaştırıcı, iki farklı oranda olmak üzere, kullanılmıştır. Deneylerde 3, 7, 28 ve 90 günlük rötre ve ağırlık kayıpları ölçülmüştür. Eğilme, basınç dayanımı ve ultrases hızı tayinleri 7 ve 28. günlerde yapılmıştır. Deney sonuçlarına göre, genellikle, harçlarda kullanılan katkılar rötreyi artırmaktadır. Yalnız, bir farklılık olarak, melamin esası katkı kullanılan karışımının rötresi kendi kontrol karışımlarından az olmaktadır. Daha yüksek miktarda modifiye edilmiş linyosülfonat kullanılan karışımının rötresi diğer katkıların rötresinden daha yüksek değerler vermektedir. Naftalin esası akışkanlaştırıcı kullanılan karışımının rötresi çimento dozajındaki değişimlere bağlı olarak bazı farklılıklar göstermiştir.

1. GİRİŞ

Beton üretiminde ister şantiyede üretim olsun ister prefabrikasyon veya hazır beton üretiminde olsun önemli miktarlarda süperakiskanlaştırıcı katkı kullanıldığı bilinmektedir. Süperakiskanlaştırıcılar temelde üç genel amaç için kullanılmaktadırlar:

1. Kolay yerleşmeyi sağlamak için daha “akıcı beton” üretmek.
2. Daha düşük su/çimento oranında daha yüksek kalitede beton üretmek.
3. Aynı işlenebilme derecesinde daha az çimento kullanarak kütte betonlarında hidratasyon isısını düşürmek. Katının bu şekilde diğer beton türleri içinde kullanılması, aynı zamanda daha ekonomik bir beton üretimi sağlanması anlamına gelmektedir.

Süperakışkanlaştırmaların betonun basınç dayanımı üzerindeki birincil etkisi su/çimento oranı azaltmasından dolayıdır. Aynı çökme değeri ve çimento dozajı için su miktarı azaltıldığında, su/çimento oranındaki azalmalar, betonun her yaştaki dayanımını önemli derecede arttırmır (1,2).

Bazı çalışmalarla göre, belirli bir su/çimento oranı ve çimento içeriği için süperakışkanlaştırmaların ilavesinin betonun kuruma rötresini artttığı şeklinde bir eğilim çıksa da süperakışkanlaştırmaların bu yöndeki etkisi tam olarak kesinlik kazanmamıştır (3,4,5,6,7,8).

Bu araştırmada süperakışkanlaştırmaların türü ve miktarının portland çimento harçlarının kuruma rötresi üzerindeki etkileri belirlenmeye çalışılmıştır.

2. DENEYSEL İNCELEME

2.1. MALZEMELER

Maksimum agreba dane çapı 8 mm olarak seçilmiştir. Doğal kum ve kırmatash tozu harçların üretiminde agreba olarak kullanılmıştır. Agregaların granülometrisi TS 2717 standartına uygun olacak şekilde ayarlanmıştır. Bu agregaların granülometrisi ve fiziksel özellikleri Tablo 1'de verilmiştir.

Deneylede PÇ 32.5 Portland çimentosu kullanılmıştır. Çimento kullanılmadan önce TS 24'e göre fiziksel ve mekanik özellikleri belirlenmiş, deney sonuçlarının TS 19'da belirtilen standarda uygun olduğu saptanmıştır.

Tablo 1. Agregaların Granülometrisi ve Fiziksel Özellikleri

| Elek Göz Boyutu (mm) | Elekten Geçen Malzeme (%) | | | | | | Özgül Ağırlık (Kg/m ³) |
|----------------------|---------------------------|------|------|------|------|-------|------------------------------------|
| | 0.25 | 0.50 | 1.0 | 2.0 | 4.0 | 8.0 | |
| Kum | 9.0 | 81.0 | 90.0 | 94.0 | 97.0 | 100.0 | 2650 |
| Kırmatas Tozu | 6.0 | 15.0 | 29.0 | 48.5 | 98.0 | 100.0 | 2730 |
| Karışım | 7.7 | 51.4 | 62.5 | 73.5 | 97.5 | 100.0 | - |

Deneylerde üç farklı tipte süperakışkanlaştırıcı katkı maddesi kullanılmıştır.

1. Melamin sülfonat-formaldehit kondansesi, Tip F (ASTM C494)
2. Naftalin sülfonat-formaldehit kondansesi, Tip G (ASTM C 494)
3. Modifiye linyosülfonat, Tip G (ASTM C 494)

Süperakışkanlaştırıcı katkılarının özgül ağırlıkları sırasıyla 1.24, 1.22 ve 1.15 kg/dm³ olarak belirlenmiştir.

2.2. HARC KARİSIMLARI

Karışılarda agregaların maksimum dane çapı, granülometrisi ve işlenebilme sabit tutulmuştur. Dozajlar sırasıyla 400, 450 ve 500 kg/m³ olarak seçilmiştir. Karışılarda her dozajda aynı işlenebilme değerini elde edebilmek için farklı su/çimento oranları bulunmuştur. Ayrıca her bir bileşimde üç farklı kökenli süperakışkanlaştırıcı katkı maddesi kullanılmış ve kullanılan her süperakışkanlaştırıcıdan iki farklı oranda katkı denenmiştir. Keza, süperakışkanlaştırmaların relatif etkisini ortaya koyabilmek için her dozaj için kontrol karışımı hazırlanmıştır. Sonuç olarak her dozaj için 7 karışım, toplam olarak 21 karışım üretilmiştir. Harçların karışım oranları, süperakışkanlaştırmacı katkı oranları ve yayılma oranları Tablo 2'de verilmiştir. Bu tabloda; K: kontrol, L: modifiye linyosülfonat katkılı, M: melamin katkılı, N: naftalin katkılı harçları temsil etmektedir. Bu duruma göre; harç türünde birinci indis dozajları, ikinci indis katkı oranlarını göstermektedir. Örneğin, N₂₁ kodu Naftalin katkılı, 450 dozlu ve %1.5 katkı oranlı harçı ifade etmektedir.

2.3. KÜR KOŞULLARI VE DENEYLER

Deney örnekleri 4x4x16 cm'lik çelik harç numunesi kalıplarına dökülmüşlerdir. Kalıplarına yerleştirilen harçlar hava ile temas etmesini önlemek için cam plakalarla kaplanmış ve 1. günün sonunda kalıptan alınmıştır. Üretilen örnekler kalıp içindeyken ve kalıptan çıkarıldıkten sonra deney gününe kadar sıcaklığı 20°C±1 arasında ve nem oranı %60±5 olan klima odasında saklanmıştır.

Kuruma rötresi ölçümleri 3,7,28 ve 90. günlerde yapılmıştır. Eğilme, Ultrases hızı ve basınç deneyleri 7 ve 28. günlerde gerçekleştirılmıştır. Eğilme deneyinde orta noktadan tekil yükleme yapılmış ve deneyden arta kalan parçalar üzerinde de basınç dayanımları ölçülmüştür.

3. DENEY SONUÇLARI VE TARTIŞMA

3.1. KURUMA RÖTRESİ VE AĞIRLIK KAYIPLARI

Tablo 3, kuruma rötresi ölçümlerini göstermektedir. Tipik sonuçların elde edildiği kuruma rötresi-zaman eğrileri Şekil 1, 2 ve 3'de verilmiştir. Şekillerden görülebileceği gibi linyosulfonat katkısının rötresi tüm kontrol karışımlarından daha büyütür. Melamin kökenli katkıının kuruma rötresi 400 ve 450 doz için kontrol karışımından daha düşük değerler verirken 500 dozlu kontrol karışımı ile benzer değerler vermiştir. Küçük miktarlarda katkı kullanılması halinde, 500 dozlu karışımında üç katkı türü içinde kuruma rötresi değerleri 500 dozlu kontrol karışımından daha düşük değerler vermektedir. Naftalin kökenli katkı ile üretilen harçların kuruma rötresi çimento dozajına bağlı olarak değişiklikler göstermektedir. Bununla birlikte, bu tip süperakisyanlaştırıcı, genel olarak harçların kuruma rötresini artırmaktadır.

Özetle, çimento dozajı arttıkça, tüm harçların kuruma rötresi de artmaktadır. Linyosulfonat ve naftalin kökenli katkılar harçların kuruma rötresini artturırken, diğer yandan melamin kökenli akışkanlaştırıcının etkisi miktarına bağlı olarak değişmektedir.

Sonuç olarak denilebilir ki, süperakışkanlaştırmacıların kuruma rötresi üzerindeki etkisi, süperakışkanlaştırmacının tipine ve miktarına bağlı olarak değişmektedir. Bu sonuçlar, genelde süperakışkanlaştırmacıların kuruma rötresini artttığını öne süren ACI 212.4R komitesinin raporuya uyum sağlamaktadır (5).

Öte yandan, bazı tip katkılar ve miktarları için kuruma rötresinin azalması su miktarının azalmasındandır. Bu bulgu, daha önce Hattori'nin de belirttiği gibi süperakışkanlaştırmacıların rötre azaltıcı etkisine bağlanamayacağını göstermektedir (9).

Araştırmada tüm dozajlar için ağırlık kayipları da ölçülmüştür. Süperakışkanlaştırmacıların 28. gündeki relatif ağırlık kayipları 400, 450 ve 500 kg/m³ için sırasıyla %69-87, %63-80 ve %57-67'dir. Relatif ağırlık kayipları 28 ve 90. günler arasında az bir artış göstermektedir. Fakat, aynı günler arasında kuruma rötresi miktarları, daha fazla artmaktadır (Bkz. Tablo 4 ve Şekil 4). Bu sonuçlara göre, düşük miktarda linyosülfonat katkılı harçların relatif ağırlık kayipları tüm dozajlar için diğer süperakışkanlaştırmacılarından daha fazladır (Relatif ağırlık kayipları 400, 450 ve 500 kg/m³ için sırasıyla %90, %80 ve %67'dir). Genel olarak, sonuçlar göstermektedir ki, süperakışkanlaştırmacı katkı ilavesi kontrol karışımına kıyasla ağırlık kayiplarını azaltmaktadır. Bu sonuç, Malhotra'nın verdiği sonucu doğrulamaktadır (10).

Yukardaki sonuçlara göre relatif ağırlık katsayılarındaki artışlar, süperakışkanlaştırmacı katkılı harçların kuruma rötresini artttmaktadır. Fakat, ileri yaşlarda, ağırlık kaybı az miktarda olurken kuruma rötresindeki artış daha fazla olmaktadır. Genellikle, kuruma rötresinin miktarı, su kaybının orantılı olarak artar. Ancak burada, süperakışkanlaştırmacı katkı ilavesi, ağırlık kayiplarını önemli bir miktarda değiştirmeksızın kuruma rötresini artttığından, bazı tip katkılarda, rötre artttıcı etki diğer faktörlere bağlı olabilir, örneğin karışım suyunun yüzey geriliminin değişmesi veya çimento hamurunun mikroyapısının değişmesi gibi (11,12).

3.2. BASINÇ VE EĞİLME DAYANIMI

Basınç dayanımı deney sonuçları Tablo 5 ve Şekil 5,6 ve 7'de gösterilmektedir. Melamin kökenli katkılı harçların 400 ve 450 dozlu karışılardaki relatif basınç dayanımları diğer

karişımlarından daha yüksektir. 500 kg/m^3 dozaj halinde ise, bir farklılaşma olarak linyosulfonat katkısı en yüksek değeri göstermektedir. Genelde, süperakışkanlaştırıcı katkı kullanılmış karışımın basınç dayanımları: kontrol karışımından daha yüksektir. Bu sonuçlar göstermektedir ki, süperakışkanlaştırıcı katkı kullanımı yüksek dayanımlı beton elde etmek için çok önemli ve yararlı olmaktadır. Diğer yandan, Eğilme dayanımı ve ultrases hızı için süperakışkanlaştırıcıların yararlı etkisi basınç dayanımından daha azdır. Eğilme dayanımı ve ultrases hızındaki 28. gündeki artış oranları sırasıyla, %3-48 ve %6-21'dir. Bu sonuçlar ASTM/C494'deki sonuçları doğrulamaktadır (13).

4. SONUÇLAR

1. Linyosulfonat kökenli katkılı karışımın kuruma rötresi, tüm dozajlar için kendi kontrol karışımından daha büyuktur. Keza, yüksek miktarda linyosulfonat kökenli katkı kullanılması halindeki kuruma rötresi de diğer süperakışkanlaştırıcılarından daha büyuktur.
2. Melamin kökenli katkı kullanılarak üretilmiş harçların kuruma rötresi 400 ve 450 dozajlı kontrol karışımından daha azdır.
3. Naftalin kökenli süperakışkanlaştırıcılı harçların kuruma rötresinin çimento dozajına bağlı olarak değişiklikler göstermekle birlikte, genel olarak rötreyi artttığı söylenebilir.
4. Genelde, bu araştırmada kullanılan süperakışkanlaştırıcılar harçların kuruma rötresini artırmaktadır.
5. Genel olarak, süperakışkanlaştırıcılı harçların ağırlık kayipları kontrol karışımından daha azdır.
6. Süperakışkanlaştırıcılı karışımın basınç dayanımları kontrol karışımından daha yüksektir. Bu ise süperakışkanlaştırıcıların yüksek dayanımlı beton elde etmede yararlı ve önemli olduğunu ortaya koymaktadır.
7. Süperakışkanlaştırıcıların eğilme dayanımını artırıcı yöndeki etkisi basınç dayanımına göre düşük oranda gerçekleşmektedir.

KAYNAKLAR

1. ACI Committee 212, "Chemical Admixtures for Concrete", ACI Materials Journal, May-June, 1989, p.297.
2. NEVILLE, A.M., BROOKS, J.J., "Concrete Technology", Longman Scientific and Technical, 1987, p.155.
3. PAILLERE, A.M., BEN BASSAT, M., AKMAN, S., "Guide for Use of Admixtures in Concrete", 84-AAC: Application of admixtures in Concrete, Materials and Structures, 1992, 25, p.49.
4. MUKHERJEE, P.K., "Evaluation of Superplasticizers in Concrete", ACI Publication SP-119, p.625.
5. Committee Report ACI 212 4R, "Guide for the Use of High-Range Water-Reducing Admixtures in Concrete", Concrete International, April, 1993, Vol.15, No.4, p.44.
6. BROOKS, JJ, WAINRIGHT, P.J., NEVILLE, A.M., "Time Dependent Behaviour of High Early Strength Concrete Containing Superplasticizers", ACI Publication SP-68, p.81.
7. COLLINS, T.M., "Proportioning High Strength Concrete to Control Creep and Shrinkage", ACI Materials Journal, November-December, 1989, Vol.86, No.6, p.576.
8. KASAMI, T., IKEDA, T., YAMANE, S., "On Workability and Pumpability of Superplasticized Concrete Experience in Japan", ACI Publication SP-62, p.79.
9. HATTORI, K., "Experiences with Mighty Superplasticizers in Japan", ACI Publication, SP-62, p.43.
10. MALHOTRA, V.M., "Superplasticizers: Their Effect on Fresh and Hardened Concrete", ACI Concrete International, May 1981, p.66.
11. SHAH, S.P., KARAGÜLER, M.E., SARIGAPHUTI, M., "Shrinkage-Reducing Admixture Effects on Cracking", ACI Material Journal, May-June 1992, Vol.89, No.3, p.289.
12. SHOYA, M., SUGITA, M., "Application of Special Admixture to Reduce Shrinkage Cracking of Air-Dried Concrete", Hachinohe Institute of Technology, Hachinohe, Japan, pp.1-11.
13. ASTM C494, "Standart Specification for Chemical Admixtures for Concrete", Annual Book of ASTM Standarts, 1991.

Tablo 2. Kontrol ve Süperakışkanlaştırıcı Katılım Harçlarının (1 m^3 için) Bileşimi ve Taze Beton Özellikleri

| Doz (kg/m^3) | Harç Türü | Kum (kg/m^3) | Kırma Taş (kg/m^3) | C (kg/m^3) | E (kg/m^3) | E/C | Katkı Oranı (%) | Yayılma Oranı (%) |
|-----------------------------------|--------------|-----------------------------------|--|---------------------------------|---------------------------------|------|-----------------------|-------------------------|
| 400 | K1 | 793 | 669 | 401 | 301 | 0.75 | - | 111 |
| | L11 | 800 | 674 | 406 | 264 | 0.65 | 1.4 | 103 |
| | L12 | 817 | 688 | 393 | 275 | 0.70 | 0.8 | 112 |
| | M11 | 808 | 681 | 399 | 259 | 0.65 | 1.8 | 103 |
| | M12 | 810 | 683 | 393 | 275 | 0.70 | 0.9 | 100 |
| | N11 | 763 | 643 | 397 | 258 | 0.65 | 1.5 | 106 |
| | N12 | 803 | 677 | 400 | 280 | 0.70 | 0.7 | 115 |
| 450 | K2 | 763 | 643 | 449 | 319 | 0.71 | - | 106 |
| | L21 | 786 | 663 | 456 | 251 | 0.55 | 1.4 | 107 |
| | L22 | 792 | 668 | 456 | 287 | 0.63 | 0.6 | 119 |
| | M21 | 786 | 663 | 456 | 251 | 0.55 | 2.0 | 120 |
| | M22 | 794 | 670 | 449 | 283 | 0.63 | 0.7 | 102 |
| | N21 | 752 | 534 | 449 | 247 | 0.55 | 1.5 | 118 |
| | N22 | 784 | 660 | 451 | 284 | 0.63 | 0.5 | 117 |
| 500 | K3 | 754 | 636 | 503 | 322 | 0.64 | - | 114 |
| | L31 | 782 | 660 | 502 | 241 | 0.48 | 1.5 | 105 |
| | L32 | 781 | 658 | 501 | 281 | 0.56 | 0.5 | 120 |
| | M31 | 785 | 662 | 504 | 242 | 0.48 | 2.0 | 110 |
| | M32 | 787 | 663 | 500 | 280 | 0.56 | 0.6 | 115 |
| | N31 | 756 | 637 | 494 | 237 | 0.48 | 1.3 | 116 |
| | N32 | 770 | 649 | 503 | 282 | 0.56 | 0.3 | 119 |

Tablo 3. Rötre Değerleri (μ/m)

| Doz | Harç Türü | E/C | 3. Gün | 7. Gün | 28. Gün | 90. Gün |
|-----|--------------|------|----------|----------|-----------|-----------|
| 400 | K1 | 0.75 | 60 (12) | 250 (62) | 500 (100) | 690 (138) |
| | L11 | 0.65 | 140 (29) | 310 (50) | 520 (104) | 770 (154) |
| | L12 | 0.70 | 120 (24) | 250 (42) | 520 (104) | 670 (134) |
| | M11 | 0.65 | 120 (24) | 210 (62) | 390 (78) | 520 (104) |
| | M12 | 0.70 | 140 (28) | 310 (50) | 620 (124) | 730 (146) |
| | N11 | 0.65 | 140 (28) | 250 (50) | 500 (100) | 670 (134) |
| | N12 | 0.70 | 80 (16) | 250 (50) | 560 (112) | 770 (154) |
| 450 | K2 | 0.71 | 60 (12) | 250 (50) | 560 (112) | 750 (150) |
| | L21 | 0.55 | 140 (28) | 330 (56) | 640 (129) | 860 (172) |
| | L22 | 0.63 | 120 (24) | 290 (58) | 610 (122) | 750 (150) |
| | M21 | 0.55 | 120 (24) | 270 (54) | 540 (108) | 670 (134) |
| | M22 | 0.63 | 120 (24) | 270 (54) | 580 (116) | 830 (156) |
| | N21 | 0.55 | 120 (24) | 270 (54) | 610 (122) | 830 (166) |
| | N22 | 0.63 | 120 (24) | 250 (52) | 580 (116) | 770 (154) |
| 500 | K3 | 0.64 | 80 (16) | 260 (52) | 580 (116) | 790 (158) |
| | L31 | 0.48 | 170 (34) | 330 (56) | 640 (128) | 920 (184) |
| | L32 | 0.56 | 80 (16) | 250 (50) | 560 (112) | 810 (162) |
| | M31 | 0.48 | 140 (28) | 290 (58) | 610 (122) | 790 (158) |
| | M32 | 0.56 | 120 (24) | 290 (58) | 560 (112) | 810 (162) |
| | N31 | 0.48 | 190 (38) | 330 (66) | 620 (124) | 880 (176) |
| | N32 | 0.56 | 80 (16) | 210 (42) | 560 (112) | 790 (158) |

Parantez içindeki değerler 400 dozlu numunelerin 28. gündeki rötre değerlerine göre yüzdelidir.

Tablo 4. Ağırlık Kaybı Değerleri (%)

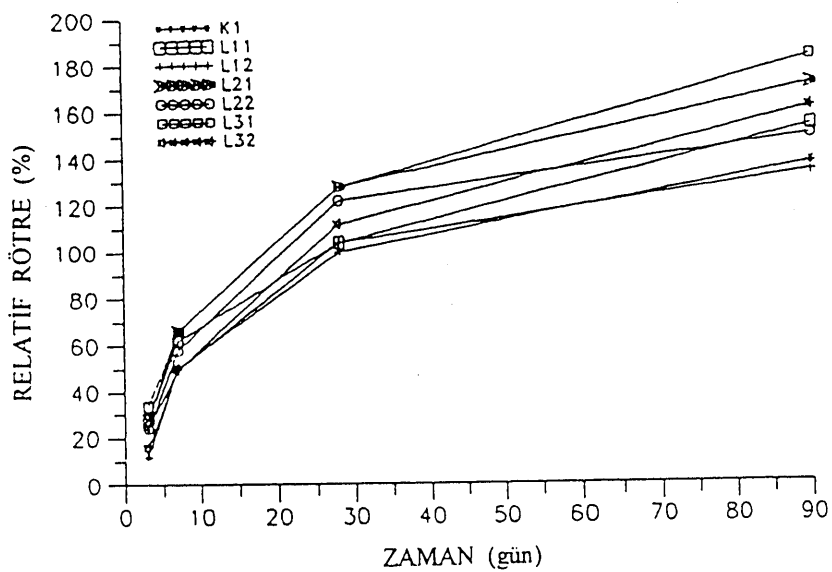
| Doz | Harç Türü | E/C | 3. Gün | 7. Gün | 28. Gün | 90. Gün |
|-----|-----------|------|----------|----------|-----------|-----------|
| 400 | K1 | 0.75 | 4.9 (70) | 6.0 (86) | 7.0 (100) | 7.0 (100) |
| | L11 | 0.65 | 4.2 (60) | 4.8 (69) | 5.6 (80) | 5.8 (83) |
| | L12 | 0.70 | 4.2 (60) | 5.2 (74) | 6.3 (90) | 6.4 (91) |
| | M11 | 0.65 | 3.8 (54) | 4.2 (60) | 4.8 (69) | 4.9 (70) |
| | M12 | 0.70 | 4.0 (57) | 5.0 (71) | 6.0 (80) | 6.0 (86) |
| | N11 | 0.65 | 4.0 (57) | 4.8 (69) | 5.6 (80) | 5.6 (80) |
| | N12 | 0.70 | 3.9 (56) | 5.0 (71) | 6.1 (87) | 6.1 (87) |
| 450 | K2 | 0.71 | 4.7 (67) | 6.0 (86) | 7.2 (103) | 7.3 (104) |
| | L21 | 0.55 | 3.4 (49) | 4.3 (61) | 5.3 (76) | 5.5 (79) |
| | L22 | 0.63 | 3.1 (44) | 4.3 (61) | 5.6 (80) | 5.8 (83) |
| | M21 | 0.55 | 2.7 (39) | 3.6 (51) | 4.4 (63) | 4.6 (66) |
| | M22 | 0.63 | 2.8 (40) | 4.1 (59) | 5.4 (77) | 5.7 (81) |
| | N21 | 0.55 | 2.4 (34) | 3.5 (50) | 4.6 (66) | 4.9 (70) |
| | N22 | 0.63 | 2.6 (37) | 3.9 (56) | 5.1 (73) | 5.4 (77) |
| 500 | K3 | 0.64 | 3.6 (51) | 4.7 (67) | 6.1 (87) | 6.3 (90) |
| | L31 | 0.48 | 2.5 (36) | 3.2 (46) | 4.3 (61) | 4.7 (67) |
| | L32 | 0.56 | 2.5 (36) | 3.4 (49) | 4.7 (67) | 5.2 (74) |
| | M31 | 0.48 | 2.5 (36) | 3.1 (44) | 4.0 (57) | 4.4 (63) |
| | M32 | 0.56 | 2.4 (34) | 3.2 (46) | 4.5 (64) | 5.0 (71) |
| | N31 | 0.48 | 2.2 (31) | 2.8 (40) | 4.0 (57) | 4.5 (64) |
| | N32 | 0.56 | 2.4 (34) | 3.2 (46) | 4.5 (64) | 5.0 (71) |

Parantez içindeki değerler 400 dozlu numunelerin 28. gündeki ağırlık kaybına göre yüzdeleridir.

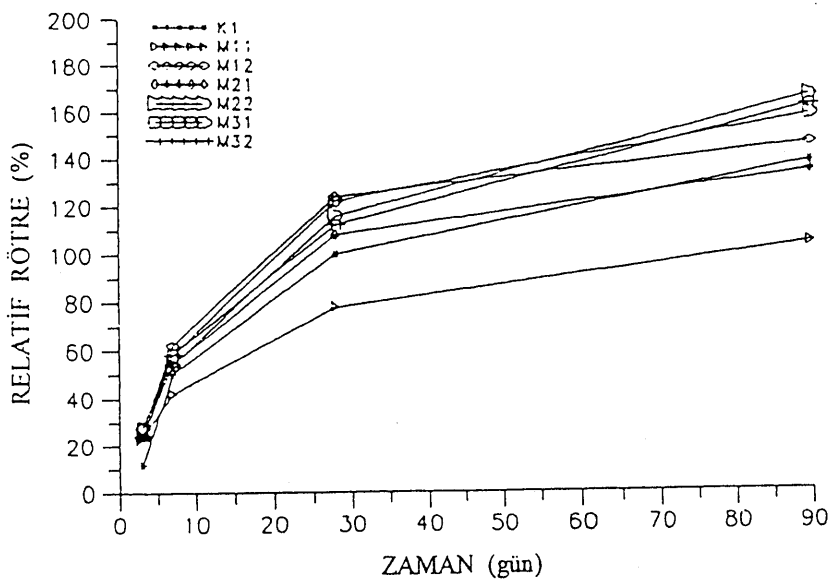
Tablo 5. Basınç Dayanımı Değerleri (N/mm²)

| Doz | Harç Türü | E/C | 7. Gün | 28. Gün |
|-----|-----------|------|------------|------------|
| 400 | K1 | 0.75 | 17.9 (89) | 20.1 (100) |
| | L11 | 0.65 | 20.6 (102) | 29.8 (148) |
| | L12 | 0.70 | 19.8 (98) | 28.2 (140) |
| | M11 | 0.65 | 20.8 (102) | 28.2 (140) |
| | M12 | 0.70 | 21.4 (106) | 30.5 (152) |
| | N11 | 0.65 | 19.9 (99) | 25.4 (126) |
| | N12 | 0.70 | 19.8 (98) | 24.2 (120) |
| 450 | K2 | 0.71 | 19.7 (98) | 24.1 (120) |
| | L21 | 0.55 | 30.5 (152) | 34.4 (171) |
| | L22 | 0.63 | 27.0 (134) | 29.6 (147) |
| | M21 | 0.55 | 29.7 (148) | 37.5 (187) |
| | M22 | 0.63 | 28.5 (142) | 30.4 (151) |
| | N21 | 0.55 | 27.6 (137) | 30.6 (152) |
| | N22 | 0.63 | 28.1 (140) | 31.1 (155) |
| 500 | K3 | 0.64 | 24.1 (120) | 28.7 (143) |
| | L31 | 0.48 | 32.1 (160) | 35.5 (177) |
| | L32 | 0.56 | 29.4 (146) | 33.6 (167) |
| | M31 | 0.48 | 31.6 (157) | 33.2 (165) |
| | M32 | 0.56 | 30.9 (154) | 33.6 (167) |
| | N31 | 0.48 | 30.9 (154) | 34.5 (172) |
| | N32 | 0.56 | 28.3 (141) | 34.3 (171) |

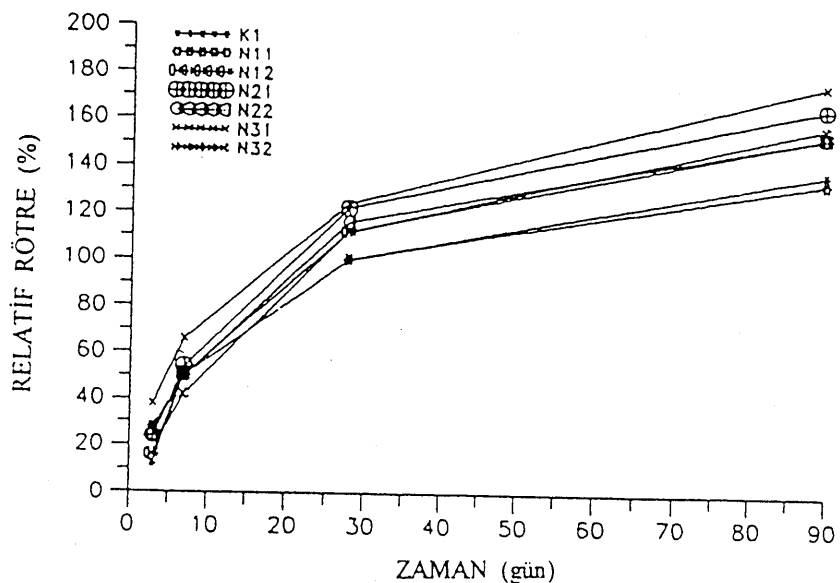
Parantez içindeki değerler 400 dozlu numunelerin 28. gündeki basınç dayanımlarına göre yüzdeleridir.



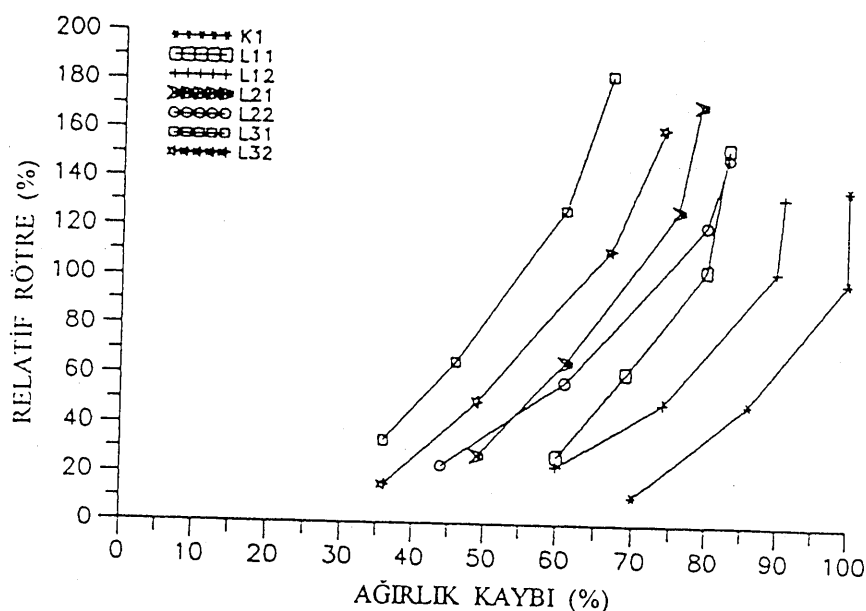
Şekil 1. Linyosulfonat Katkılı Harçların Rötre-Zaman Değişimi



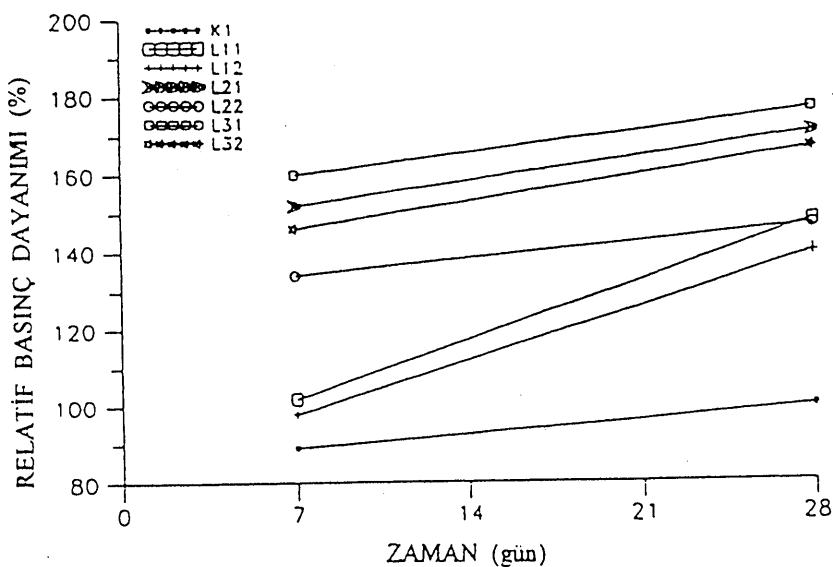
Şekil 2. Melamin Katkılı Harçların Rötre-Zaman Değişimi



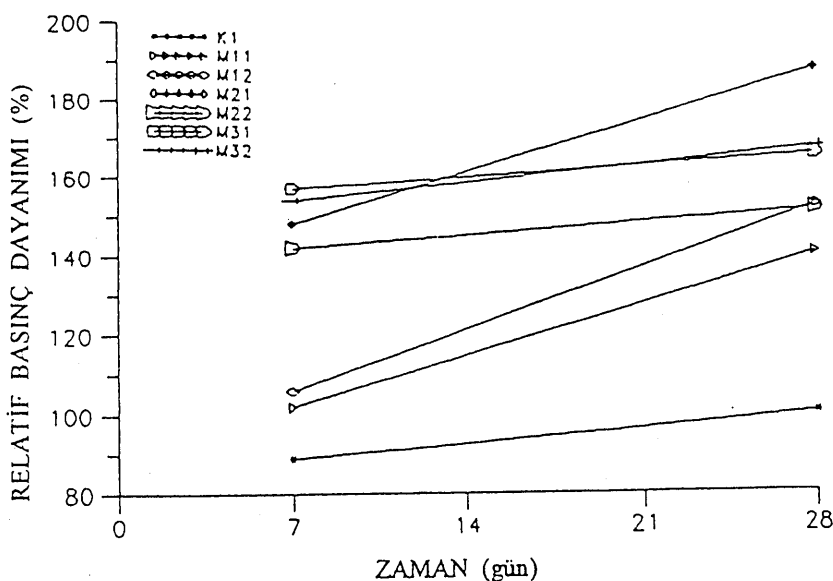
Şekil 3. Naftalin Katkılı Harçların Rötre-Zaman Değişimi



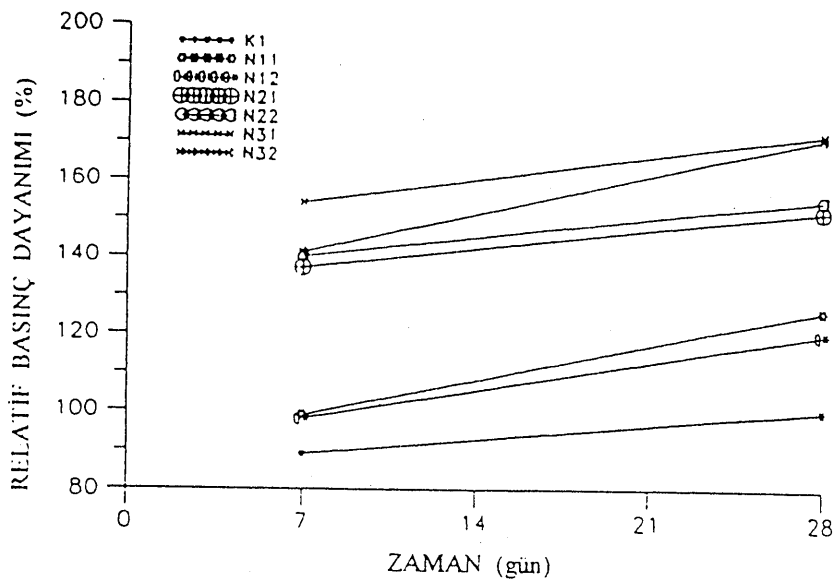
Şekil 4. Linyosülfonat Katkılı Harçların Rötre-Ağırlık Kaybı Değişimi



Şekil 5. Linyosulfonat Katkılı Harçların Basınç Dayanımı-Zaman Değişimi



Şekil 6. Melamin Katkılı Harçların Basınç Dayanımı-Zaman Değişimi



Şekil 7. Naftalin Katkılı Harçların Basınç Dayanımı-Zaman Değişimi

